

(a) 測定位置

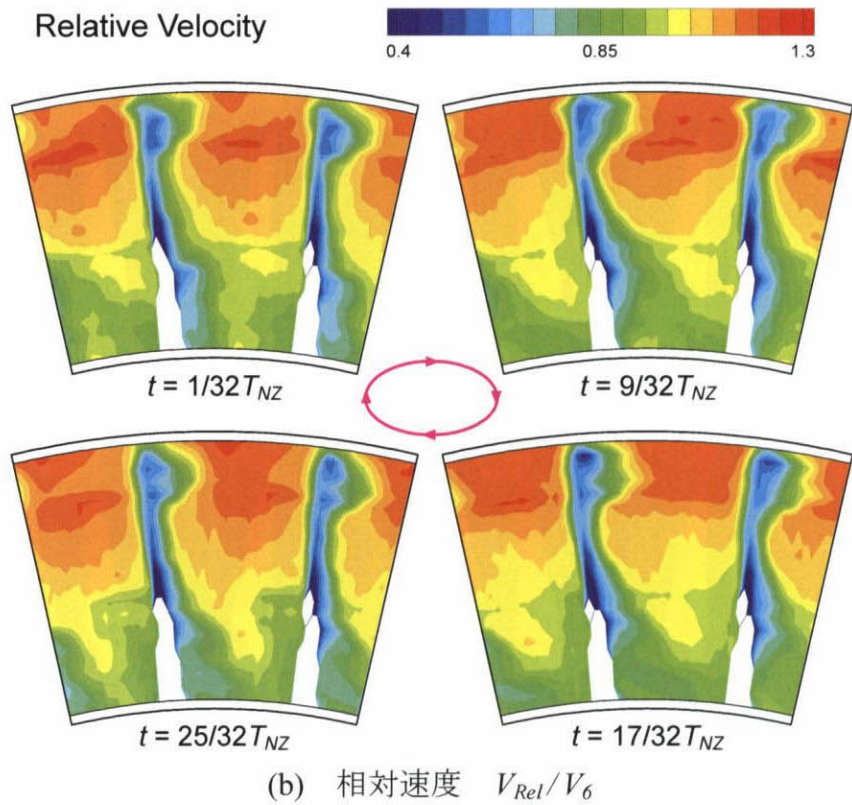


図 8.21 動翼出口の非定常流れ (相対座標系, その1)
(測定面 33, 軸方向位置 $Z/C_{ax,RT} = 1.066$)

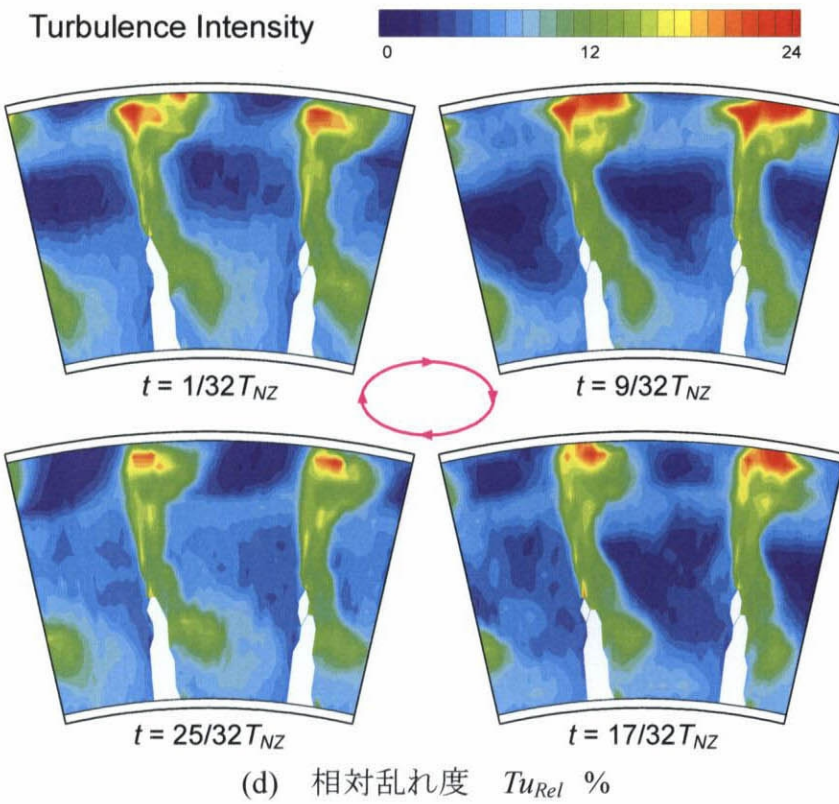
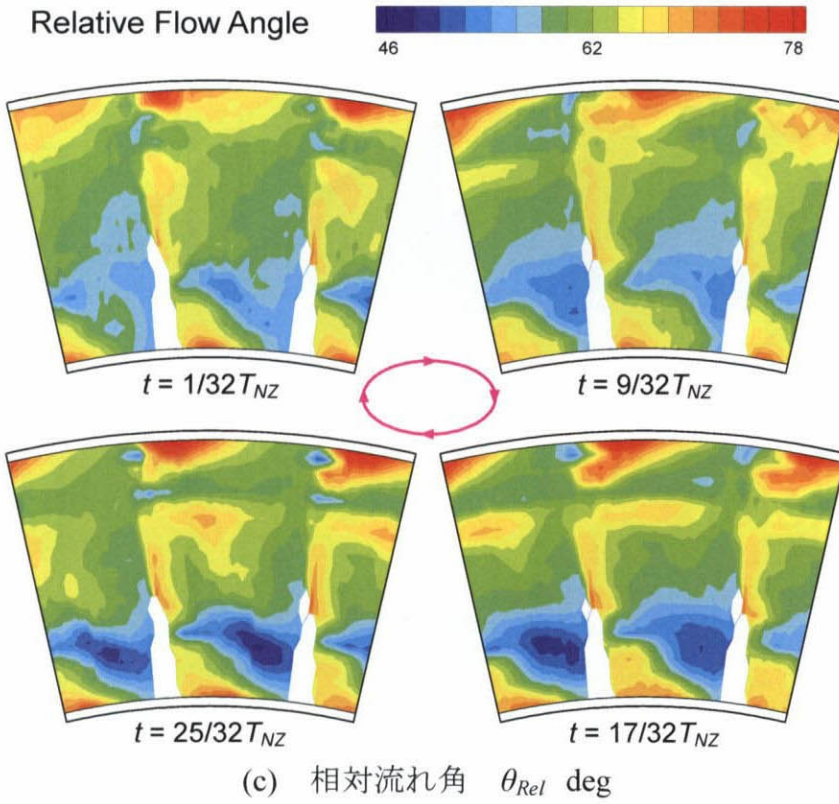
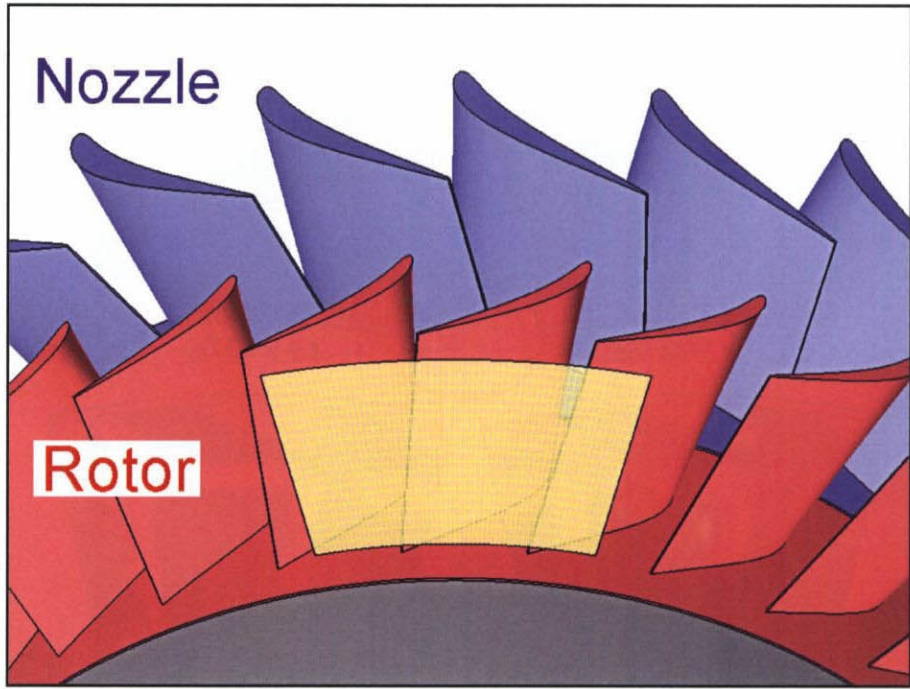
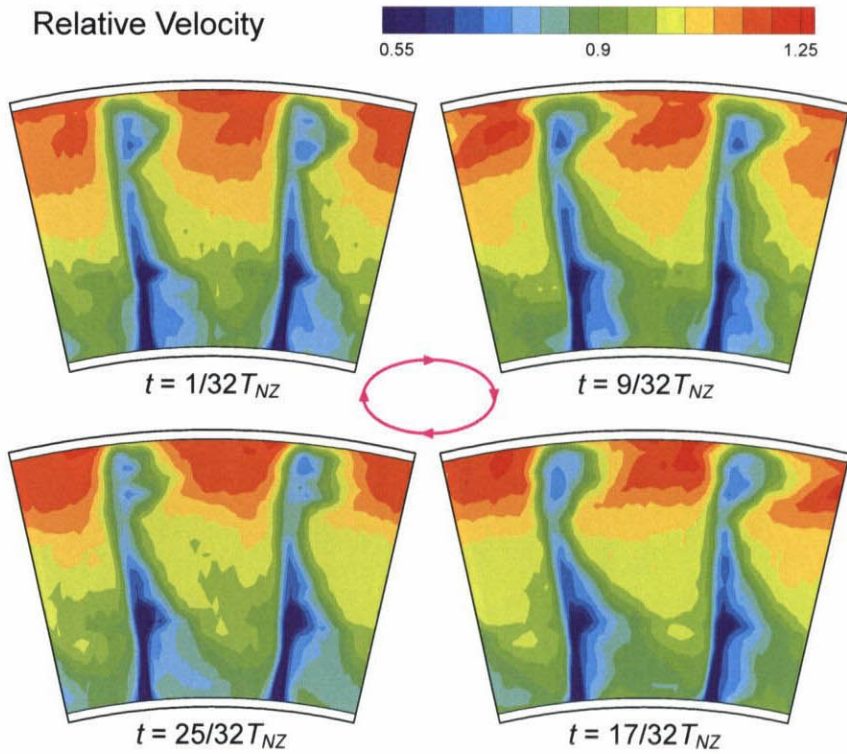


図 8.21 動翼出口の非定常流れ (相対座標系, その 2)
(測定面 33, 軸方向位置 $Z/C_{ax,RT} = 1.066$)



(a) 測定位置



(b) 相対速度 V_{Rel}/V_6

図 8.22 動翼出口の非定常流れ (相対座標系, その1)
(測定面 35, 軸方向位置 $Z/C_{ax,RT} = 1.164$)

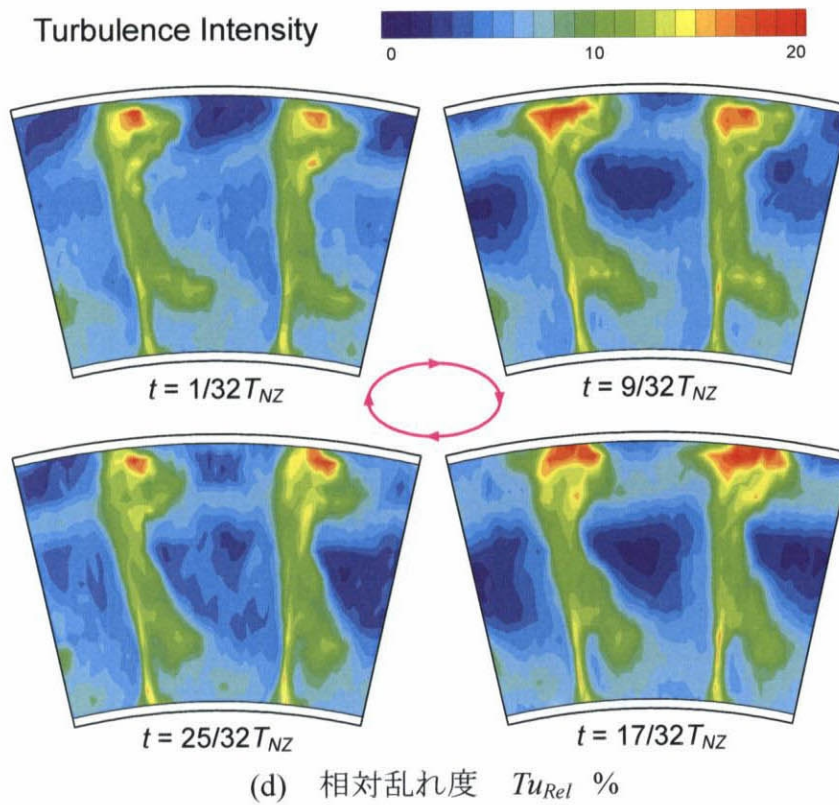
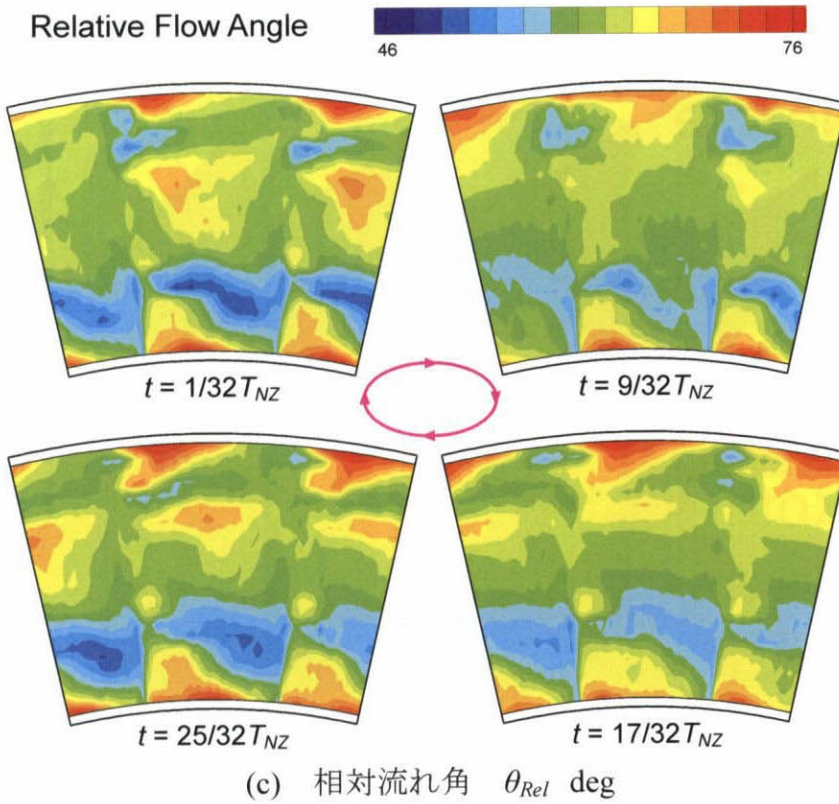
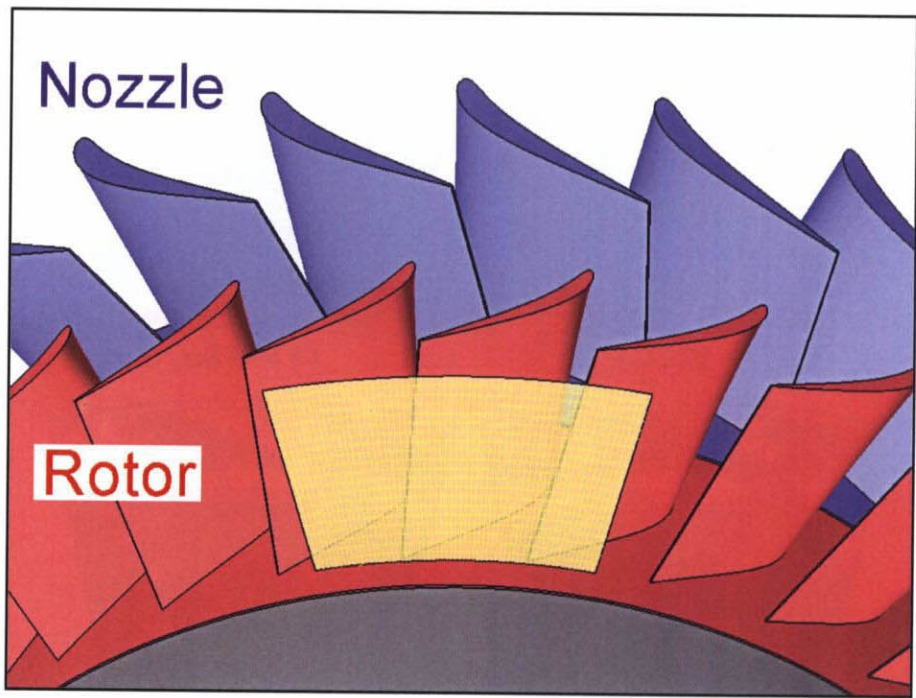
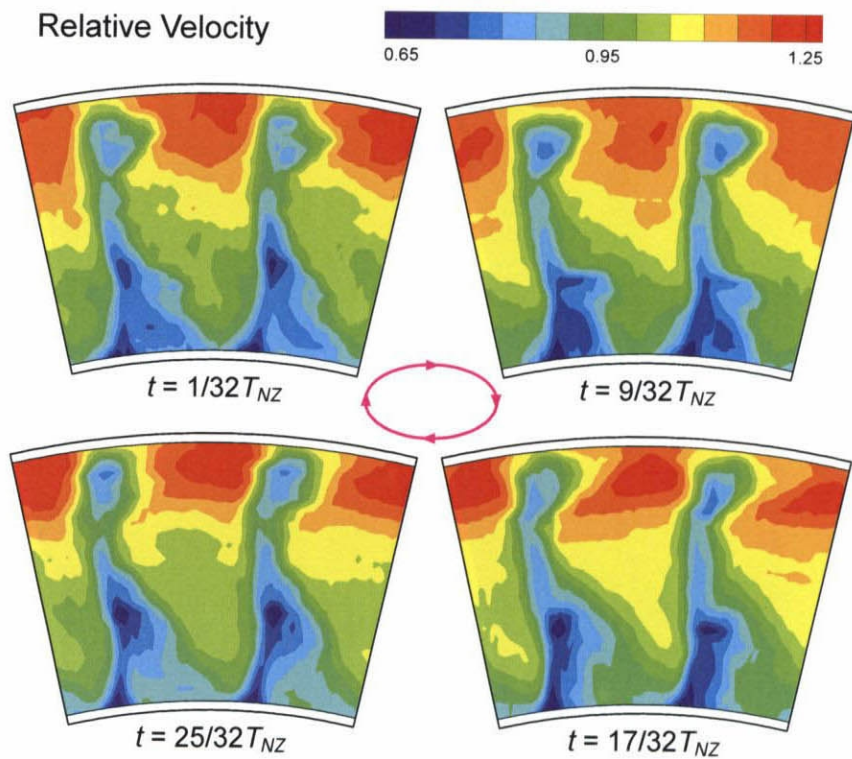


図 8.22 動翼出口の非定常流れ (相対座標系, その 2)
(測定面 35, 軸方向位置 $Z/C_{ax,RT} = 1.164$)

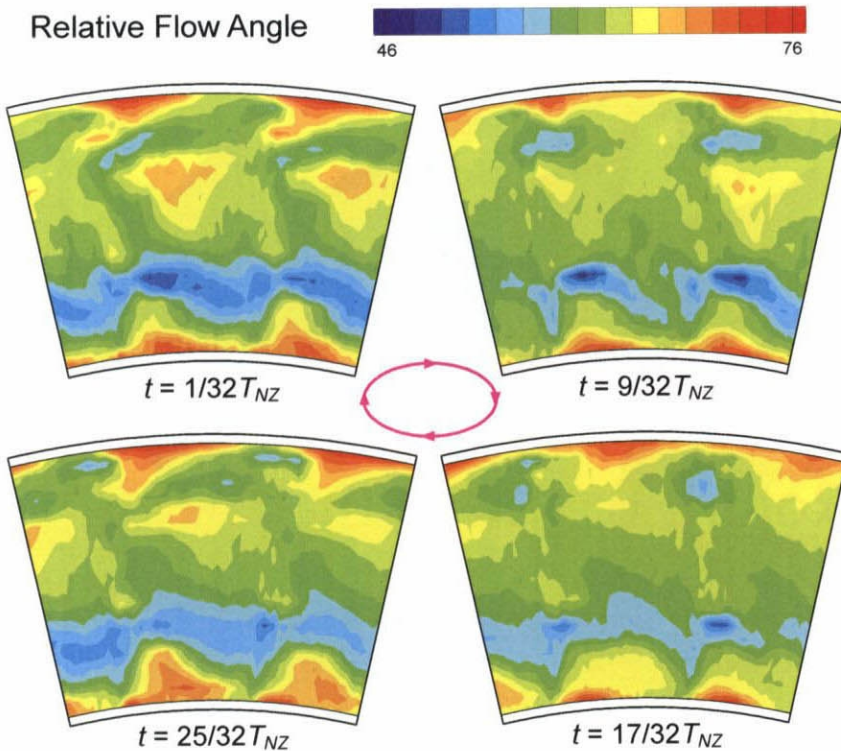


(a) 測定位置

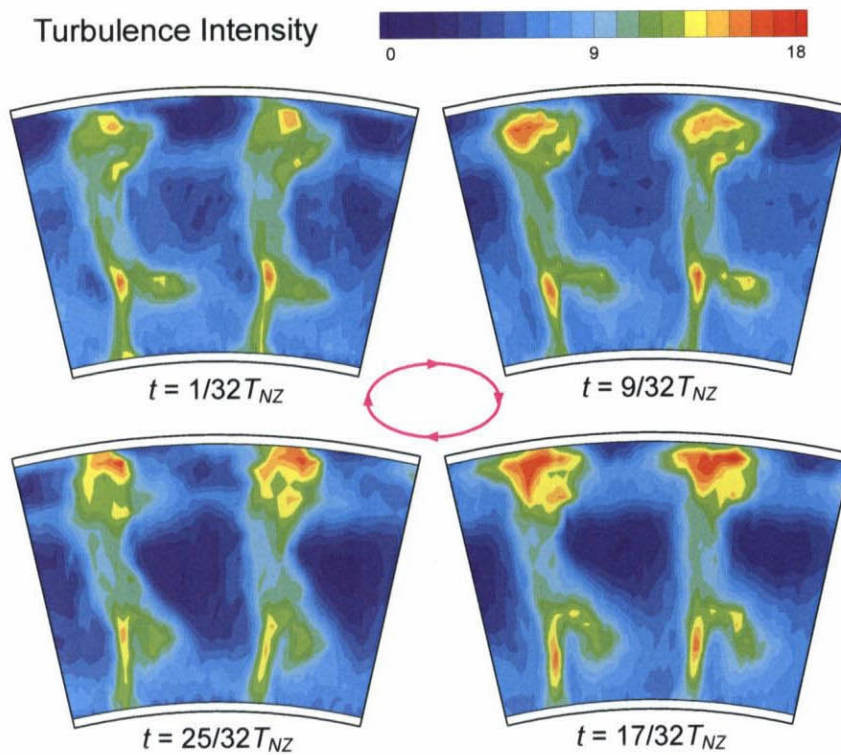


(b) 相対速度 V_{Rel}/V_6

図 8.23 動翼下流の非定常流れ (相対座標系, その1)
(測定面 37, 軸方向位置 $Z/C_{ax,RT} = 1.262$)

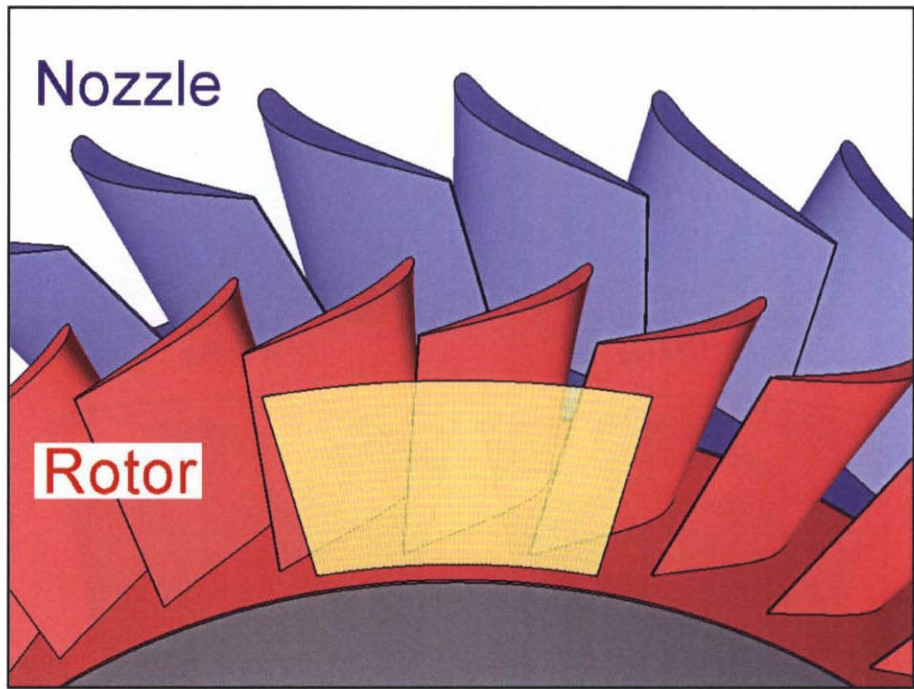


(c) 相対流れ角 θ_{Rel} deg



(d) 相対乱れ度 Tu_{Rel} %

図 8.23 動翼下流の非定常流れ (相対座標系, その 2)
(測定面 37, 軸方向位置 $Z/C_{ax,RT} = 1.262$)



(a) 測定位置

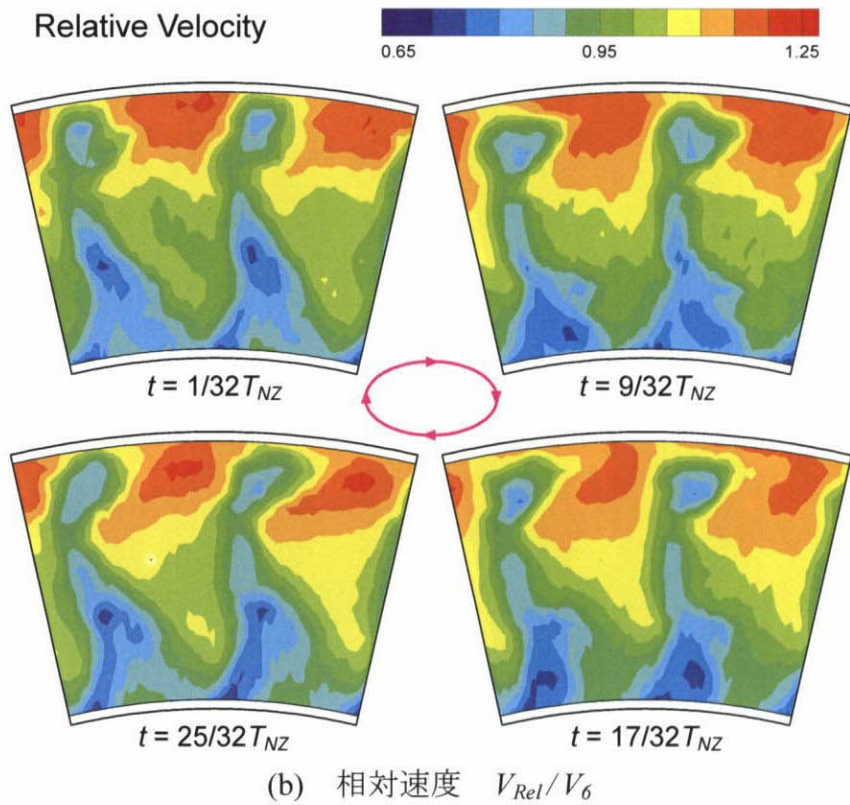


図 8.24 動翼下流の非定常流れ (相対座標系, その 1)
(測定面 39, 軸方向位置 $Z/C_{ax,RT} = 1.359$)

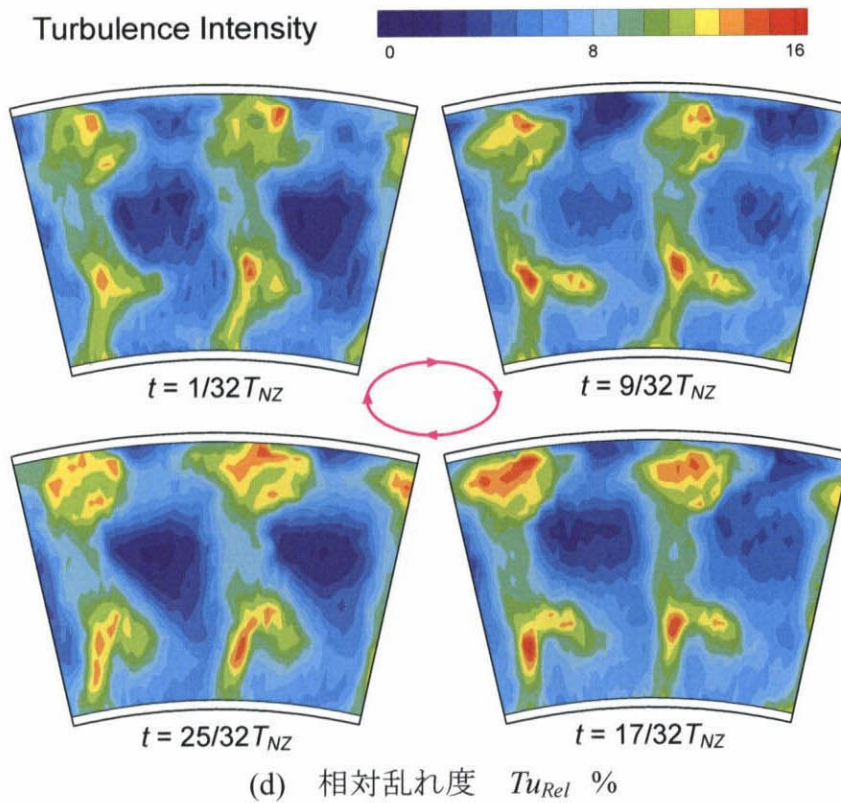
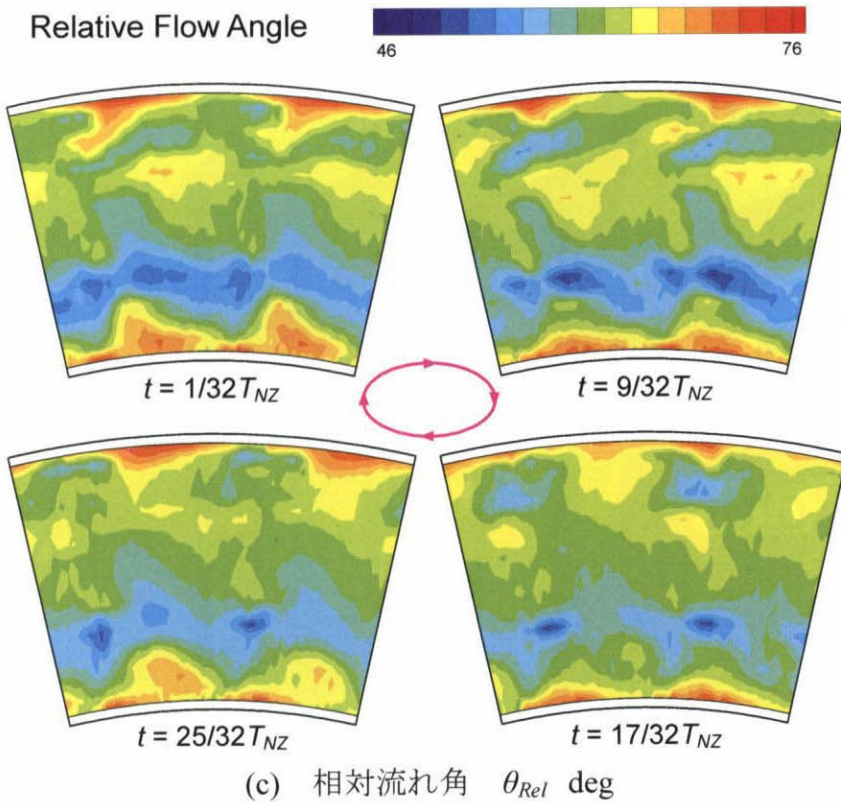
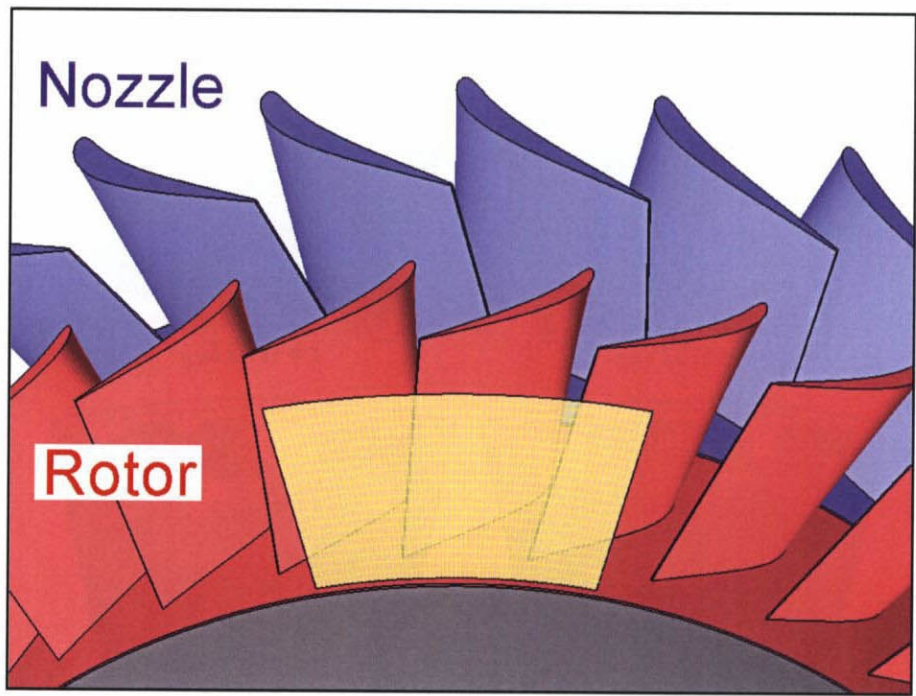
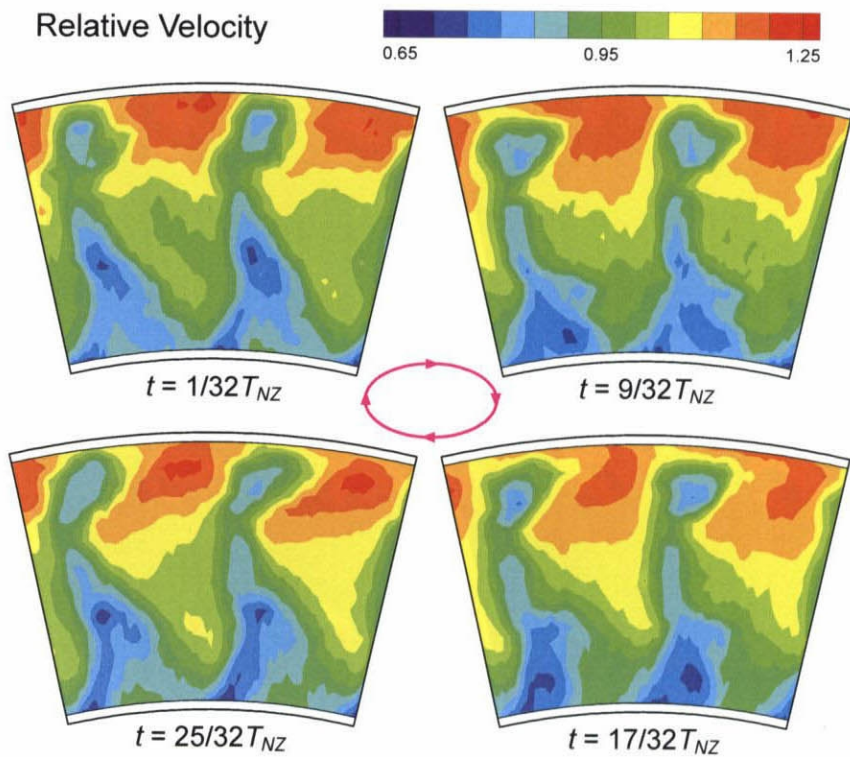


図 8.24 動翼下流の非定常流れ (相対座標系, その 2)
(測定面 39, 軸方向位置 $Z/C_{ax,RT} = 1.359$)



(a) 測定位置



(b) 相対速度 V_{Rel}/V_0

図 8.25 動翼下流の非定常流れ (相対座標系, その1)
(測定面 41, 軸方向位置 $Z/C_{ax,RT} = 1.457$)

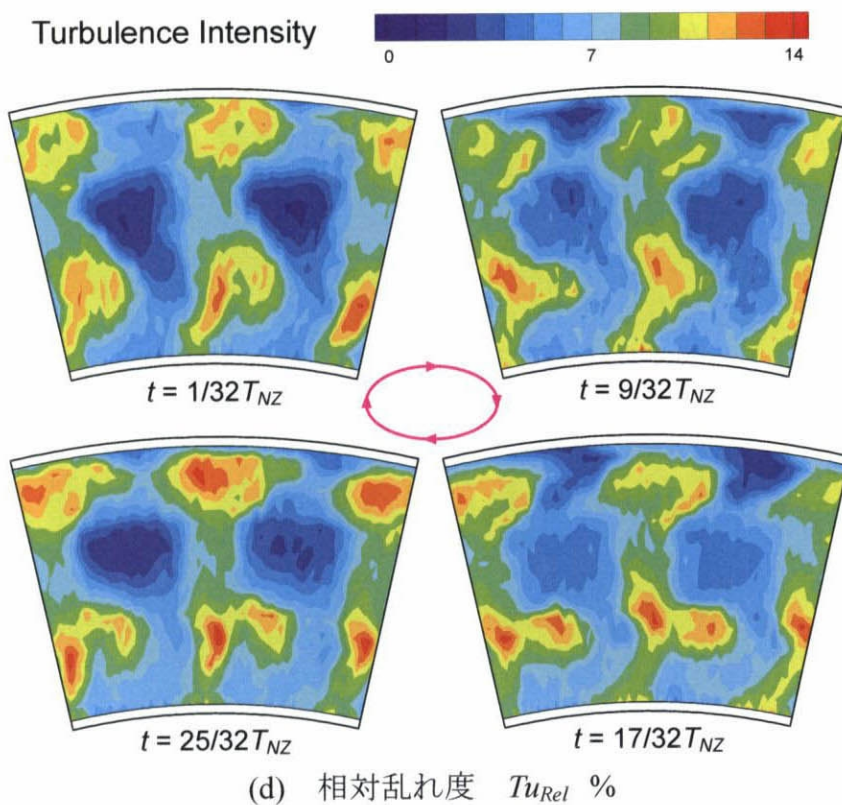
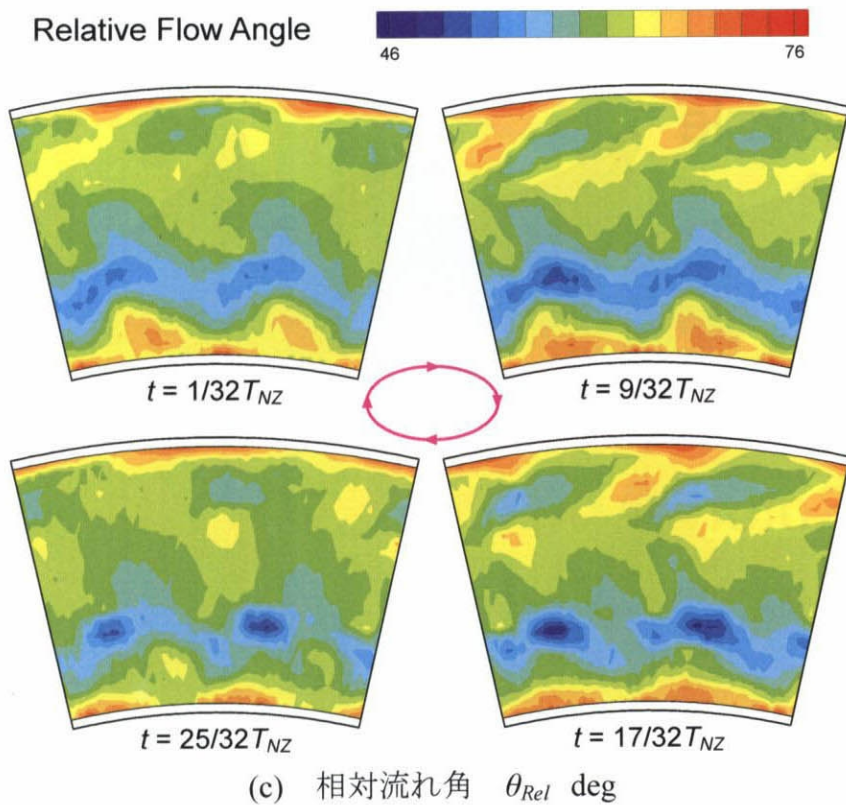
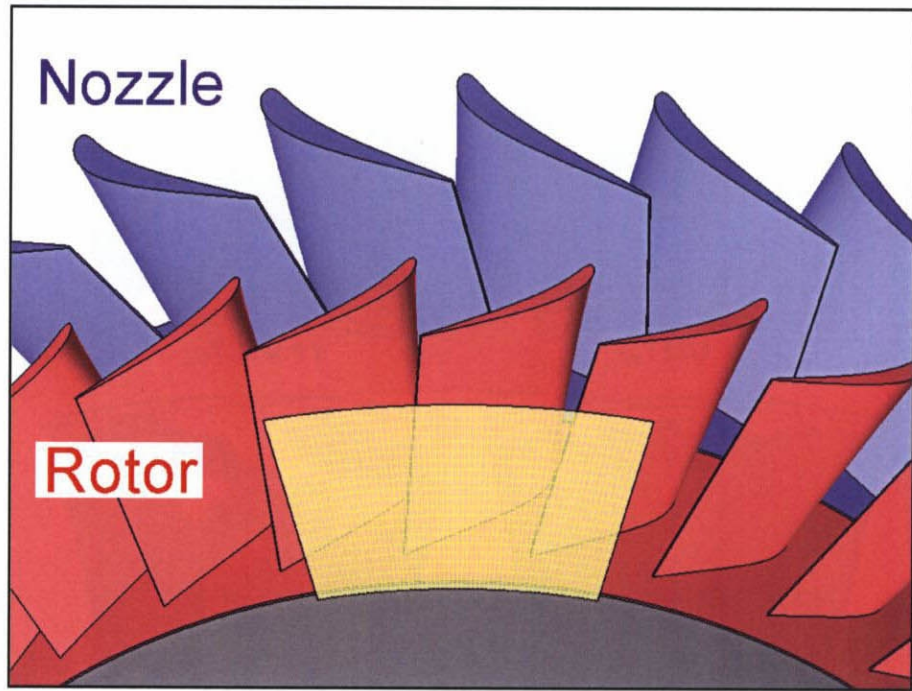
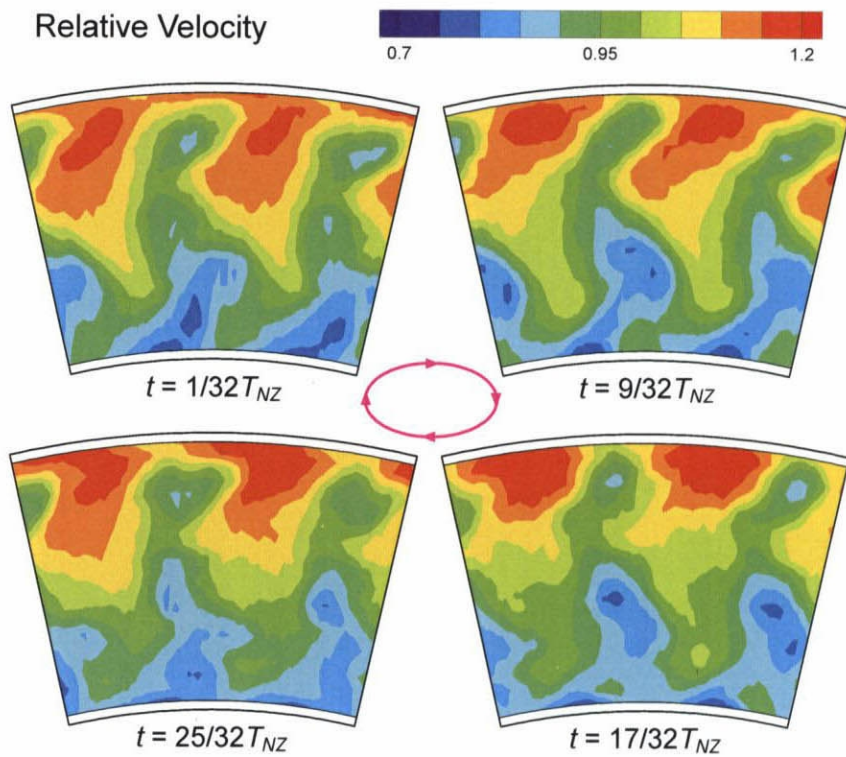


図 8.25 動翼下流の非定常流れ (相対座標系, その 2)
(測定面 41, 軸方向位置 $Z/C_{ax,RT} = 1.457$)



(a) 測定位置



(b) 相対速度 V_{Rel}/V_6

図 8.26 動翼最下流の非定常流れ (相対座標系, その 1)
(測定面 44, 軸方向位置 $Z/C_{ax,RT} = 1.604$)

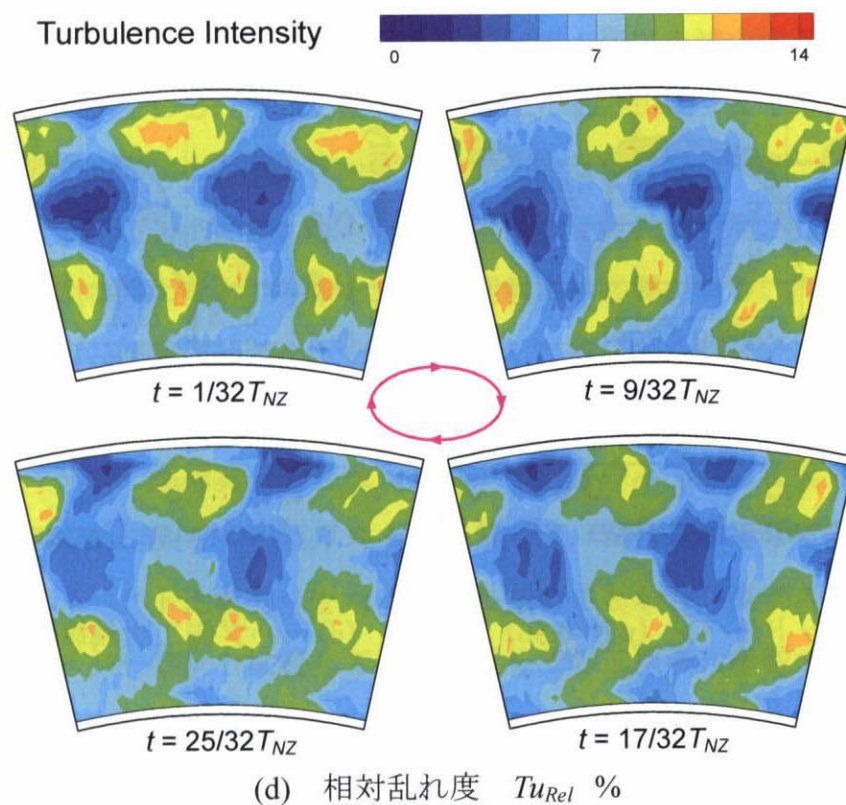
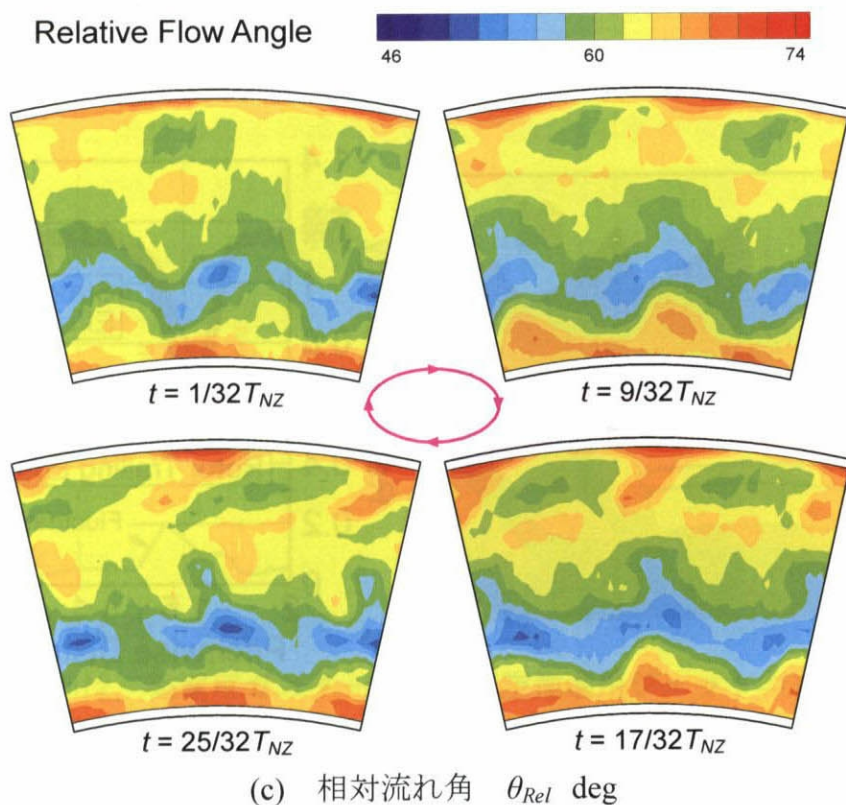
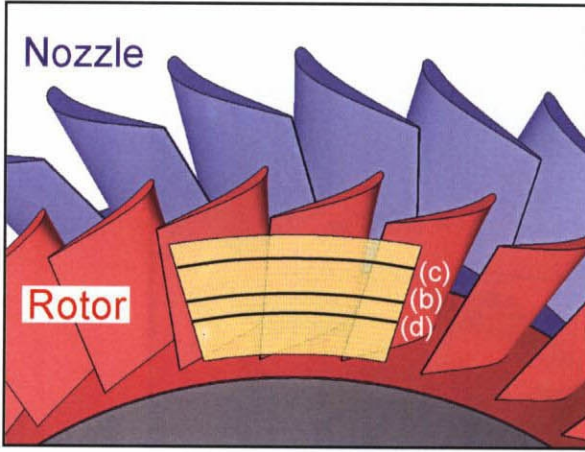
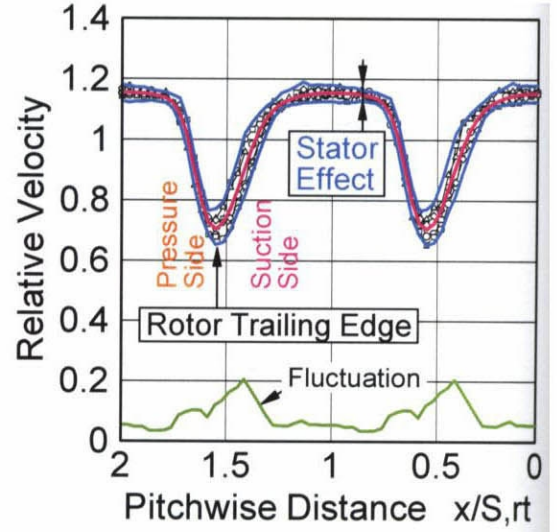


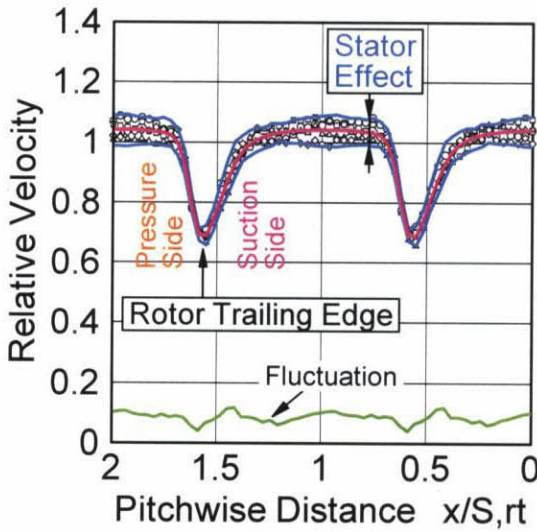
図 8.26 動翼最下流の非定常流れ (相対座標系, その2)
(測定面 44, 軸方向位置 $Z/C_{ax,RT} = 1.604$)



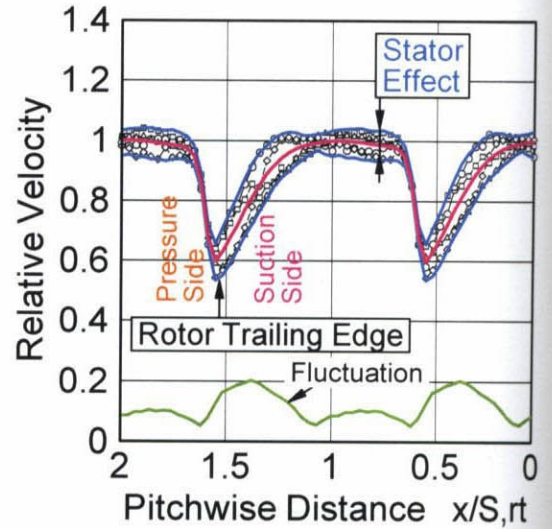
(a) 測定位置



(c) チップ側二次渦領域 ($y/H=0.78$)



(b) ミッドスパン ($y/H=0.50$)



(d) ハブ側二次渦領域 ($y/H=0.36$)

図 8.27 動翼出口の非定常相対速度のピッチ方向分布 (相対座標系)
(測定面 35, 軸方向位置 $Z/C_{ax,RT}=1.164$)